



AB 1571



SOLDI Sp. z o.o.
ul. Bieżanowska 22
30-812 Kraków

Sprawozdanie nr 117/2024/OS/04

Sprawozdanie z badania natężenia pól elektromagnetycznych
wykonanych w środowisku

Miejsce wykonania badania:

(dane uzyskane od klienta)

JRS7116_A

37-560 Hawłowice, dz. nr 873,
pow. jarosławski, woj. podkarpackie

Data zakończenia badania:

15.03.2024 r.

Klient:

P4 Sp. z o.o.
ul. Wynalazek 1
02-677 Warszawa

Autoryzacja / wydanie sprawozdania:



Wiktoria Chłapek
Specjalista ds. Ochrony
Środowiska

Bez pisemnej zgody laboratorium, sprawozdanie nie może być powielane inaczej, jak tylko w całości.

1. Podstawa prawna

Badania wykonano zgodnie z obecnie występującymi aktami prawnymi:

- Ustawa z dnia 27 kwietnia 2001 r. Prawo ochrony środowiska (Dz. U. 2022 poz. 2556 z zm.),
- Rozporządzenie Ministra Zdrowia z dnia 17 grudnia 2019 r. w sprawie dopuszczalnych poziomów pól elektromagnetycznych w środowisku (Dz. U. 2019 poz. 2448),
- Rozporządzenie Ministra Klimatu z dnia 17 lutego 2020 r. w sprawie sposobów sprawdzania dotrzymania dopuszczalnych poziomów pól elektromagnetycznych w środowisku (Dz. U. 2022 poz. 2630).

2. Aparatura pomiarowa

Podczas badań użyto następującej aparatury pomiarowej:

Tabela nr 1

Miernik szerokopasmowy	Sondy	Zakres częstotliwościowy	Zakres pomiarowy*	Świadectwo wzorcowania
Narda NBM - 550 Nr B-0714	EF-0392 nr G-0072	0,1 – 3 600 MHz	0,8 – 1000 V/m	LWiMP/W/016/23; data wydania: 12.01.2023
Narda NBM - 550 Nr B-0714	EF-6091 nr 01096	80 – 90 000 MHz	0,8 – 300 V/m	LWiMP/W/016/23; data wydania: 12.01.2023
*Do wyznaczenia poprawnej wartości natężenia pola elektromagnetycznego uwzględniono współczynniki korekcyjne z właściwego świadectwa wzorcowania.				

Aparaturę pomiarową charakteryzują następujące wartości niepewności pomiaru obliczone i przedstawiona zgodnie z dokumentem PN-EN 50413. Podane wartości niepewności stanowią niepewności rozszerzone dla poziomu ufności 95% i współczynnika rozszerzenia $k=2$.

Procedury wdrożone w laboratorium pozwalają zapewnić odporność elektromagnetyczną miernika.

Niepewność pomiarowa wyznaczona dla zainstalowanych i skonfigurowanych obiektów – źródeł pól, jak w dniu pomiaru wynosi 35%.

Dodatkowa aparatura pomiarowa:

- Kompas (busola) [UP/30/Sw]
- Termohigrometr TFA nr 4433 [UP/31/Sw]
(Świadectwo wzorcowania: 0197/AH/21; data wydania: 12.02.2021)
- Taśma miernicza geodezyjna 50 m [UP/33/Sw]
(Świadectwo wzorcowania: U/21/51-512120028.3; data wydania: 10.03.2021)
- Odbiornik GPS REALME GT Neo 2 [UP/22/Sw]

3. Opis badania:

Badanie przeprowadziło Laboratorium Badawcze Soldi na podstawie zlecenia firmy P4 Sp. z o.o.

Badanie wykonano zgodnie z:

Załącznikiem do rozporządzenia Ministra Klimatu z dnia 17 lutego 2020 r. w sprawie sposobów sprawdzania dotrzymania dopuszczalnych poziomów pól elektromagnetycznych w środowisku (Dz. U. 2022 poz. 2630).

Badania promieniowania elektromagnetycznego, którego źródłem są urządzenia wyszczególnione w punkcie 4 sprawozdania przeprowadzono w pionach pomiarowych na kierunkach zbliżonych do azymutów badanej instalacji, w szczególności w tych miejscach, w których na podstawie uprzednio przeprowadzonych obliczeń, stwierdzono występowanie w danych zakresach częstotliwości pól-EM o poziomach zbliżonych do poziomów dopuszczalnych oraz do odległości, dla której stwierdzono w miejscach dostępnych dla ludności występowanie pól elektromagnetycznych o najwyższym poziomie, które pochodzą z badanej instalacji. Badania pól elektromagnetycznych przeprowadzono w pionach pomiarowych wzdłuż głównych kierunków pomiarowych, dodatkowych pionach oraz w miejscach dostępnych dla ludności w otoczeniu instalacji. W przyjętych pionach pomiarowych pomiary wykonano na wysokościach od 0,3 m do 2,0 m nad powierzchnią terenu albo nad innymi miejscami dostępnymi dla ludności. W pobliżu urządzeń, obiektów i elementów metalowych pomiary wykonano w odległości nie mniejszej niż 0,3 m od tych urządzeń, obiektów i elementów metalowych.

Przy sprawdzeniu dotrzymania dopuszczalnych poziomów pól elektromagnetycznych w środowisku nie uwzględnia się poprawek pomiarowych ze względu, na fakt iż pomiary wykonywane są przy użyciu miernika szerokopasmowego.

4. Informacje przekazane przez klienta

Tabela nr 2 – Opis obiektu, w otoczeniu którego wykonano badania oraz określenie terenu wokół stacji

Tabela nr 2a – Szczegółowe dane źródła pól dla anten mikrofalowych

Tabela nr 2b – Szczegółowe dane źródła pól dla anten sektorowych

Tabela nr 2

Opis obiektu, w otoczeniu którego wykonano pomiary	
Rodzaj konstrukcji wsporczej:	Stalowa wieża kratowa
Wysokość wieży:	55,94 m n.p.t.
Rodzaj terenu wokół stacji bazowej:	Stacja bazowa zlokalizowana jest na terenie podmiejskim, w najbliższym otoczeniu stacji znajdują się tereny rolne i zabudowa mieszkaniowa.

Tabela nr 2a

Charakterystyka promieniowania				kierunkowa					
Rzeczywisty czas pracy [h/dobę]				24					
Rodzaj wytwarzanego pola				stacjonarne					
Linia radiowa				Antena					
Lp.	Typ nadajnika	Częstotliwość pracy [GHz]	Moc wyjściowa [dBm]	Typ / producent	Średnica anteny [m]	Azymut [°]	Wysokość zainstal. [m]	LON	LAT
1	OPTIX RTN/HUAWEI	32	26	0.6-32 (VHLPX2-32)	0,6	251	49,8	22°32'45.70"E	49°54'52.60"N

Tabela nr 2b

Charakterystyka promieniowania				kierunkowa					
Rzeczywisty czas pracy [h/dobę]				Całodobowa 24h					
Warunki pracy				Znamionowe					
Rodzaj wytwarzanego pola				stacjonarne					
Lp.	Typ nadajnika	Antena Producent / Typ	Azymut [°]	Wysokość środka elektr. anteny [m n.p.t.]	Pasmo [Mhz]	Kąt nachylenia [°]	EIRP dla anteny [W]	LON	LAT
1	RBS6xxx/2xxx/4xxx	Huawei ADU4518R7	80	53	800	0 - 12	13081	22°32'45.70"E	49°54'52.60"N
	RBS6xxx/2xxx/4xxx				1800	2 - 12		22°32'45.70"E	49°54'52.60"N
	RBS6xxx/2xxx/4xxx				2100	2 - 12		22°32'45.70"E	49°54'52.60"N
2	RBS6xxx/2xxx/4xxx	Huawei ADU4518R7	80	53	800	0 - 12	13081	22°32'45.70"E	49°54'52.60"N
	RBS6xxx/2xxx/4xxx				1800	2 - 12		22°32'45.70"E	49°54'52.60"N
	RBS6xxx/2xxx/4xxx				2100	2 - 12		22°32'45.70"E	49°54'52.60"N
3	RBS6xxx/2xxx/4xxx	Huawei A704516R0	80	53,1	900	0 - 12	1995	22°32'45.70"E	49°54'52.60"N
4	RBS6xxx/2xxx/4xxx	Huawei ADU4518R7	230	53	800	0 - 12	13081	22°32'45.70"E	49°54'52.60"N
	RBS6xxx/2xxx/4xxx				1800	2 - 12		22°32'45.70"E	49°54'52.60"N
	RBS6xxx/2xxx/4xxx				2100	2 - 12		22°32'45.70"E	49°54'52.60"N
5	RBS6xxx/2xxx/4xxx	Huawei ADU4518R7	230	53	800	0 - 12	13081	22°32'45.70"E	49°54'52.60"N
	RBS6xxx/2xxx/4xxx				1800	2 - 12		22°32'45.70"E	49°54'52.60"N
	RBS6xxx/2xxx/4xxx				2100	2 - 12		22°32'45.70"E	49°54'52.60"N
6	RBS6xxx/2xxx/4xxx	Huawei A704516R0	230	53,1	900	0 - 12	1995	22°32'45.70"E	49°54'52.60"N
7	RBS6xxx/2xxx/4xxx	Huawei ADU4518R7	330	53	800	0 - 12	13081	22°32'45.70"E	49°54'52.60"N
	RBS6xxx/2xxx/4xxx				1800	2 - 12		22°32'45.70"E	49°54'52.60"N
	RBS6xxx/2xxx/4xxx				2100	2 - 12		22°32'45.70"E	49°54'52.60"N
8	RBS6xxx/2xxx/4xxx	Huawei ADU4518R7	330	53	800	0 - 12	13081	22°32'45.70"E	49°54'52.60"N
	RBS6xxx/2xxx/4xxx				1800	2 - 12		22°32'45.70"E	49°54'52.60"N
	RBS6xxx/2xxx/4xxx				2100	2 - 12		22°32'45.70"E	49°54'52.60"N
9	RBS6xxx/2xxx/4xxx	Huawei A704516R0	330	53,1	900	0 - 12	1995	22°32'45.70"E	49°54'52.60"N

W załączonej tabeli podano maksymalne parametry pracy tej instalacji deklarowane przez prowadzącego instalację. Podczas pomiarów urządzenia użytkownika pracowały przy aktualnie występującym obciążeniu. Anteny o sterowanych wiązkach zostały ustawione w sposób umożliwiający spełnienie wymagań pkt 13 ppkt 2 RMK.

Jako dopuszczalne poziomy gęstości pola elektromagnetycznego przyjmuje się wartość 2 W/m^2 , co odpowiada natężeniu składowej elektrycznej pola elektromagnetycznego o wartości 28 V/m – tj. minimalnej wartości dopuszczalnej dla zakresu częstotliwości od 10 MHz do 300 GHz, dzięki czemu zostaje uwzględniona obecność innych instalacji emitujących pole – EM w sąsiedztwie.

5. Wyniki badań i szkic sytuacyjny

Tabela nr 3

Data wykonania pomiarów	Godzina		Opady	Temperatura [°C]		Wilgotność [%]	
	Rozpoczęcia pomiarów	Zakończenia pomiarów		Minimalna	Maksymalna	Minimalna	Maksymalna
14.03.2024	09:55	11:10	Brak	5,1	6,0	66	68

Temperatura i wilgotność względna nie wyższa niż dopuszczalna specyfikacja miernika.

Tabela nr 4

Nr pionu / punktu	Lokalizacja pionu / punktu pomiarowego			Wysokość pomiaru	Wartość zmierzona	Wynik badania pola-E ^{*)}	Wskaźnik poziomu emisji WM _E	Wartość wyznaczona pola-H	Wskaźnik poziomu emisji WM _H
	LAT	LON	Opis						
1	2	3	4	5	6	7	8	9	10
1	49.91464	22.54636	GKP; poziom terenu wokół stacji bazowej	2,0	0,8	1,1	0,04	0,003	0,04
2	49.91466	22.54649	GKP; poziom terenu wokół stacji bazowej	2,0	0,9	1,2	0,04	0,003	0,04
3	49.91475	22.54717	GKP; poziom terenu wokół stacji bazowej	2,0	1,1	1,5	0,05	0,004	0,05
4	49.91481	22.54783	GKP; poziom terenu wokół stacji bazowej	2,0	1,0	1,4	0,05	0,004	0,05
5	49.91517	22.55094	GKP; poziom terenu wokół stacji bazowej -357m od obiektu na az. 80°	2,0	0,8	1,1	0,04	0,003	0,04
6	49.91447	22.54578	GKP; poziom terenu wokół stacji bazowej	2,0	0,8	1,1	0,04	0,003	0,04
7	49.91442	22.54567	GKP; poziom terenu wokół stacji bazowej	2,0	1,0	1,4	0,05	0,004	0,05
8	49.91414	22.54514	GKP; poziom terenu wokół stacji bazowej	2,0	1,3	1,8	0,06	0,005	0,06
9	49.91386	22.54461	GKP; poziom terenu wokół stacji bazowej	2,0	1,1	1,5	0,05	0,004	0,05
10	49.91256	22.54222	GKP; poziom terenu wokół stacji bazowej -357m od obiektu na az. 230°	2,0	0,8	1,1	0,04	0,003	0,04
11	49.91453	22.54558	GKP; poziom terenu wokół stacji bazowej	2,0	1,7	2,3	0,08	0,006	0,08
12	49.91442	22.54514	GKP; poziom terenu wokół stacji bazowej	2,0	1,8	2,4	0,09	0,006	0,09
13	49.91433	22.54472	GKP; poziom terenu wokół stacji bazowej	2,0	1,8	2,4	0,09	0,006	0,09
14	49.91470	22.54572	GKP; poziom terenu wokół stacji bazowej	2,0	0,8	1,1	0,04	0,003	0,04
15	49.91472	22.54561	GKP; poziom terenu wokół stacji bazowej	2,0	0,9	1,2	0,04	0,003	0,04
16	49.91481	22.54586	GKP; poziom terenu wokół stacji bazowej	2,0	0,8	1,1	0,04	0,003	0,04
17	49.91486	22.54580	GKP; poziom terenu wokół stacji bazowej	2,0	0,9	1,2	0,04	0,003	0,04
18	49.91527	22.54543	GKP; poziom terenu wokół stacji bazowej	2,0	1,0	1,4	0,05	0,004	0,05
19	49.91564	22.54511	GKP; poziom terenu wokół stacji bazowej	2,0	0,9	1,2	0,04	0,003	0,04
20	49.91739	22.54353	GKP; poziom terenu wokół stacji bazowej -357m od obiektu na az. 330°	2,0	0,8	1,1	0,04	0,003	0,04
A	49.91495	22.54510	DPP; św. okna budynku przy ul. Lipowa 28	2,0	0,8	1,1	0,04	0,003	0,04
B	49.91505	22.54512	DPP; św. okna budynku przy ul. Lipowa 30	2,0	0,8	1,1	0,04	0,003	0,04

*) Za wynik badania przyjmuje się wartość wyznaczoną jako maksymalny chwilowy wynik pomiarów powiększony o rozszerzoną niepewność pomiaru U dla współczynnika rozszerzenia k=2.

Objaśnienia:
GKP – Główny Kierunek Pomiarowy
DPP – Dodatkowy Pion Pomiarowy

Tabela nr 4 cd.

Nr pionu / punktu	Lokalizacja pionu / punktu pomiarowego			Wysokość pomiaru	Wartość zmierzona	Wynik badania pola-E ^{*)}	Wskaźnik poziomu emisji WM _E	Wartość wyznaczona pola-H	Wskaźnik poziomu emisji WM _H
	LAT	LON	Opis						
1	2	3	4	5	6	7	8	9	10
C	49.91510	22.54541	DPP; św. okna budynku na działce nr 871	2,0	0,9	1,2	0,04	0,003	0,04
D	49.91488	22.54591	DPP; św. okna budynku na działce nr 872	2,0	0,8	1,1	0,04	0,003	0,04
*) Za wynik badania przyjmuje się wartość wyznaczoną jako maksymalny chwilowy wynik pomiarów powiększony o rozszerzoną niepewność pomiaru U dla współczynnika rozszerzenia k=2.									

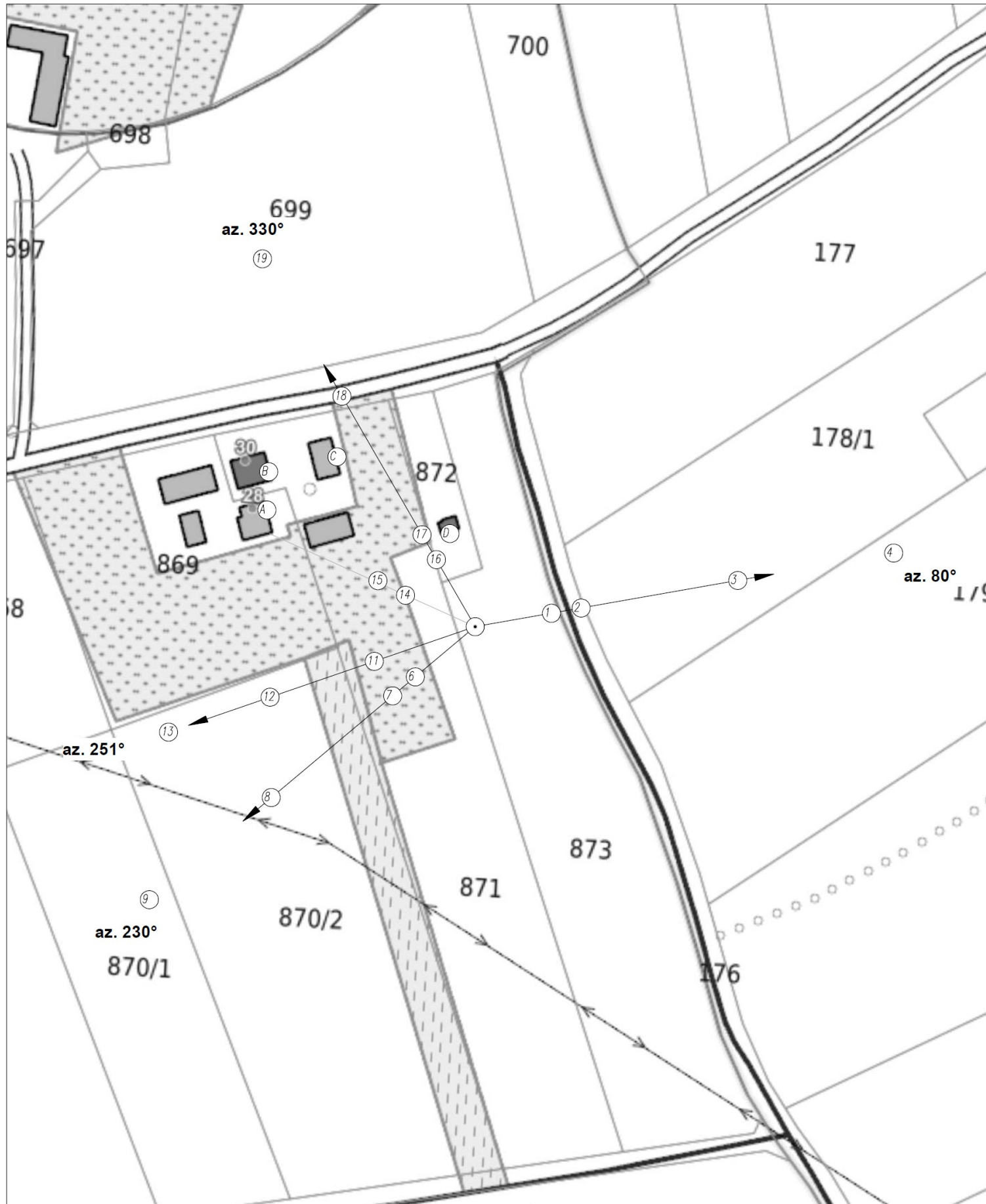
Objaśnienia:

DPP – Dodatkowy Pion Pomiarowy

Wyniki pomiarów odnoszą się wyłącznie do przedstawionych w sprawozdaniu punktów / pionów pomiarowych.

Dane podane przez klienta wpływają na ważność wyników.

W obszarze pomiarowym nie stwierdzono obecności instalacji urządzeń obcych operatorów.



UWAGA: Nie wszystkie punkty / piony pomiarowe zostały wskazane na powyższej mapie

LEGENDA:

- (Nr) – Punkty (piony) pomiarowe
- – Lokalizacja źródła pola-EM



Użytkownik: P4 Sp. z o.o. 02-677 Warszawa, ul. Wynalazek 1		Nr stacji	JRS7116_A	Skala 1:1500
Nazwa rysunku: Rozmieszczenie pionów pomiarowych Nr sprawozdania: 117/2024/OS/04				
LABORATORIUM BADAWCZE SOLDI ul. Bieżanowska 22, 30-812 Kraków		Opracował: Laboratorium Badawcze Soldi		Nr rysunku 01

6. Podsumowanie wyników badania

Minimalne dopuszczalne poziomy elektromagnetycznego promieniowania niejonizującego charakteryzowane przez wartości graniczne wielkości fizycznych dla miejsc dostępnych dla ludności, uwzględniające wszystkie źródła promieniowania mogące występować w obszarze pomiarowym, w zakresie pomiarowym zestawu pomiarowego, opisanego w punkcie 2 niniejszego sprawozdania, zgodnie z rozporządzeniem Ministra Zdrowia z dnia 17 grudnia 2019 r. w sprawie dopuszczalnych poziomów pól elektromagnetycznych w środowisku (Dz. U. 2019 poz. 2448), które zostały przyjęte do obliczeń wskaźników WM_E i WM_H wynoszą odpowiednio:

Tabela nr 5

Zakres częstotliwości	Natężenie pola - E	Natężenie pola - H
10 MHz – 300 GHz	28 V/m	0,073 A/m

Przeprowadzone badania zostały wykonane przy użyciu miernika szerokopasmowego i nie wykazały przekroczenia 70% ww. wartości dopuszczalnych. W wyniku przeprowadzonego badania potwierdzono także, że otrzymane wartości wskaźnikowe dla wszystkich punktów / pionów pomiarowych badanej instalacji radiokomunikacyjnej, nie przekroczyły wartości 1. Zatem poziomy pól elektromagnetycznych w badanych punktach są dopuszczalne.

Stwierdzenie zgodności zostało przedstawione na podstawie wyników badań oraz informacji uzyskanych od klienta (za które Laboratorium nie ponosi odpowiedzialności) dla instalacji opisanej w punkcie 4.

Stwierdzenia zgodności dokonano na podstawie zasady podejmowania decyzji i wymagań zawartych w załączniku do rozporządzenia Ministra Klimatu z dnia 17 lutego 2020 r. w sprawie sposobów sprawdzania dotrzymania dopuszczalnych poziomów pól elektromagnetycznych w środowisku (Dz. U. 2022 poz. 2630).

Tabela nr 6

Badanie wykonał:	Sprawozdanie sporządził:	Sprawdził:
Paweł Wawrzak	Katarzyna Duksa	15.03.2024r. Wiktoria Chłapek

KONIEC SPRAWOZDANIA